

## تأثیر مقادیر متفاوت ZnO بر تغییرات ریزساختاری در شیشه‌های آلومینوسیلیکاتی\*

زهرا کهربایی<sup>(۱)</sup> سجاد ازغندی‌راد<sup>(۲)</sup> جواد نعیم‌آبادی<sup>(۳)</sup> مسعود توکلیمان اکبری<sup>(۴)</sup> سحر ملازاده بیدختی<sup>(۵)</sup> محمد مزینانی<sup>(۶)</sup>

## چکیده

در تحقیق حاضر تأثیر مقادیر متفاوت ZnO بر خواص فیزیکی و رفتار تبلور شیشه‌های سیستم  $\text{SiO}_2\text{-Al}_2\text{O}_3\text{-P}_2\text{O}_5\text{-CaF}_2\text{-CaO-K}_2\text{O-Na}_2\text{O-xZnO}$  بررسی شده است و تأثیر اکسید روی بر دماهای شیشه‌ای شدن و تبلور با استفاده از DTA مطالعه شد. نوع و شدت پیوندها با استفاده از FTIR و RAMAN، نوع فازهای متبلور شده به کمک XRD و در نهایت ریزسختی شیشه‌ها با آزمون ویکرز مطالعه شد. برای مطالعه تأثیر عملیات حرارتی بر دما و نوع فازهای متبلور شده، نمونه‌های تهیه شده به صورت جداگانه در دمای  $750^\circ\text{C}$  و  $1100^\circ\text{C}$  به مدت ۳ ساعت عملیات حرارتی شدند. نتایج DTA نشان داد افزایش مقدار اکسید روی تا ۳ درصد وزنی، منجر به افزایش نسبی دمای تبلور می‌شود. نتایج FTIR حاکی از آن بود که اکسید روی تأثیر چشمگیری بر نوع پیوندها در نمونه‌های شیشه‌ای نداشته است. پس از نرمال کردن نتایج میکروسختی ویکرز و ارزیابی این نتایج به کمک ANOVA، مشخص شد در مقایسه با نمونه بدون افزودنی، نمونه‌های حاوی ۱ و ۲ گرم اکسید روی از سختی بالاتری برخوردارند.

واژه‌های کلیدی: شیشه - سرامیک، اکسید روی، عملیات حرارتی، میکروسختی.

## The Effect of Different Amounts of ZnO on Structural Properties of Aluminosilicate Glasses

Z. Kahrobaie S. Azghandi rad J. Naiem abadi M. tavakolian abkari

S. Mollazadeh Beidokhti M. Mazinani

## Abstract

The effect of different amounts of ZnO on structural properties of  $\text{SiO}_2\text{-Al}_2\text{O}_3\text{-P}_2\text{O}_5\text{-CaF}_2\text{-CaO-K}_2\text{O-Na}_2\text{O-xZnO}$  glasses was studied. The effect of ZnO addition on glass transition and crystallization temperatures were studied by DTA. FTIR and RAMAN were used to study the characteristic bands of prepared glasses. All samples were heat treated at two different temperatures of  $750^\circ\text{C}$  and  $1100^\circ\text{C}$ . XRD analysis showed that anorthite and calcium phosphate were the main crystalline phases. Based on DTA and XRD results, samples with higher amounts of ZnO were crystallized at higher temperatures. No significant band changes were detected as a result of ZnO addition as spectroscopic results showed. Vickers microhardness numbers showed that ZnO addition up to 2gr lead to a significant ( $p < 0.05$ ) improvement in microhardness values.

**Key Words:** Glass-ceramic; Zinc Oxid; Heat-treatment; Micro-hardness.

\* تاریخ دریافت مقاله ۹۶/۷/۱۰ و تاریخ پذیرش آن ۹۷/۴/۶ می‌باشد.

- (۱) دانشجوی کارشناسی ارشد، گروه مهندسی متالورژی و مواد، دانشکده مهندسی، دانشگاه فردوسی مشهد.
- (۲) دانشجوی کارشناسی، گروه مهندسی متالورژی و مواد، دانشکده مهندسی، دانشگاه فردوسی مشهد.
- (۳) دانشجوی کارشناسی، گروه مهندسی متالورژی و مواد، دانشکده مهندسی، دانشگاه فردوسی مشهد.
- (۴) دانشجوی کارشناسی، گروه مهندسی متالورژی و مواد، دانشکده مهندسی، دانشگاه فردوسی مشهد.
- (۵) نویسنده مسئول، استادیار، گروه مهندسی متالورژی و مواد، دانشکده مهندسی، دانشگاه فردوسی مشهد.
- (۶) دانشیار، گروه مهندسی متالورژی و مواد، دانشکده مهندسی، دانشگاه فردوسی مشهد، مشهد.

Email: Mollazadeh.b@um.ac.ir

DOI: 10.22067/jmme.2020.39262

## مقدمه

شیشه‌های آلومینوسیلیکاتی به علت ماندگاری مقبول در محیط‌های شیمیایی، قابلیت شکل‌پذیری بالا و ضریب انبساط حرارتی کم، به یکی از پرکاربردترین مواد در حوزه صنعت و فناوری تبدیل شده‌اند [1,2]. با توجه به ویژگی‌های یادشده، این شیشه‌ها پتانسیل درخور توجهی برای استفاده در ترمیم دندان و بافت آسیب‌دیده استخوان نیز دارند [3-5]. با گسترش نگرانی‌های جدید در حوزه استفاده از آمالگام به دلیل آزاد شدن بخارات جیوه و همچنین افزایش تقاضا برای ترمیم‌های هم‌رنگ دندان، استفاده از سیمان‌های گلاس یونومر، توجه زیادی را به خود معطوف ساخته است [6,7]. گلاس یونومرها متشکل از ۲ بخش پودر و مایع هستند: بخش مایع سیمان، محلولی شامل پلی‌آکریلیک اسید Polyacrylic acid و آب است، پودر نیز عموماً یک شیشه سیلیکاتی یا آلومینوسیلیکاتی است که با بخش مایع سیمان وارد واکنش می‌شود [8]. تاکنون مطالعات بسیار وسیعی درباره خواص و ویژگی‌های شیشه‌هایی که در ساخت گلاس یونومرها به کار می‌روند، انجام شده است. در بیشتر این مطالعات، نقش تغییر و بهینه‌سازی ترکیب شیمیایی شیشه پایه بر خواص فیزیکی، مکانیکی و پایداری شیمیایی شیشه‌ها مطالعه شده است [8,9]. نتایج این تحقیقات نشان می‌دهد که افزودن اکسیدهای قلیایی و قلیایی خاکی به ترکیب شیشه، خواص مکانیکی ترکیب سیمانی نهایی را بهبود می‌بخشد [8,9]. علاوه بر این، محققان دریافتند که افزودن شیشه‌های زیست‌فعال (شیشه‌هایی با ترکیب پایه  $\text{CaO-SiO}_2\text{-P}_2\text{O}_5$ ) به سیمان‌های دندان، منجر به بازسازی عاج دندان می‌شود [10]. نتایج تحقیقات محققان نشان داده است که حضور  $\text{CaF}_2$  (فلورین) در ترکیب شیشه نیز تأثیر مثبتی در تعدیل خواص آن داشته و منجر به کاهش دمای ذوب و گرانروی می‌شود. فلورین ساختار شیشه را برهم می‌زند و منجر به تشکیل یون‌های فلئور و اکسیژن غیرپیل‌زن می‌شود. یون‌های فلئور خاصیت ضدباکتریال دارند و می‌توانند جلو تشکیل حفرات ثانویه در دندان‌ها را از طریق تعویض با یون‌های هیدروکسیل موجود در هیدروکسی

آپاتیت بگیرند [10]. علاوه بر این، مطالعات محققان نشان داد اضافه‌شدن اکسید روی به ساختار شیشه‌های سیلیکاتی و بوروسیلیکاتی منجر به بهبود خواص شیمیایی و مکانیکی این دسته از مواد می‌شود [11,12]. همچنین نقش اکسید روی بر ساختار و خواص شیمیایی شیشه‌های آلومینوسیلیکاتی مانند دانسیته، حجم مولی، شاخص شکست نوری، ضریب انبساط حرارتی مطالعه شده است و اثرات آن با حضور اکسیدهای منیزیم، کلسیم، استرانسیم و باریم مقایسه شده است [11,12]. ترکیب شیمیایی پایه شیشه استفاده‌شده در تحقیق حاضر به صورت  $\text{SiO}_2\text{-Al}_2\text{O}_3\text{-P}_2\text{O}_5\text{-CaO}$  انتخاب شد و از مقادیر اندک اکسیدهای قلیایی برای کاهش نقطه ذوب و افزایش سیالیت مذاب استفاده شد. با وجود تحقیقات انجام‌شده برپایه مطالعات نویسندگان مقاله حاضر، تاکنون اثر افزودنی اکسید روی در سیستم‌های آلومینوسیلیکاتی که کاربردهای زیستی دارند، بررسی نشده است. براین اساس، هدف تحقیق حاضر مطالعه تأثیر اضافه‌کردن اکسید روی بر برخی خواص ساختمانی شیشه‌های آلومینوسیلیکاتی است. بدین منظور درباره ترکیب نهایی  $\text{SiO}_2\text{-Al}_2\text{O}_3\text{-P}_2\text{O}_5\text{-CaF}_2\text{-CaO-K}_2\text{O-Na}_2\text{O-xZnO}$  تحقیق شد. تأثیر اکسید روی بر خواص و ساختار شیشه با استفاده از آزمون‌هایی همچون آنالیز حرارتی افتراقی (DTA)، طیف‌سنجی مادون قرمز (FTIR)، طیف‌سنجی رامان و سختی‌سنجی میکرو ویکرز بررسی شد.

## فعالیت‌های تجربی

برای تولید فریت شیشه، ترکیب پودر که شامل مواد اکسیدی ذکر شده در جدول ۱ است، تهیه و مخلوط شد. برای کدگذاری نمونه‌ها، نمونه با صفر گرم اکسید روی به عنوان نمونه شاهد با عنوان  $0\text{ZnO}$  در نظر گرفته شد و به ترتیب کدهای  $1\text{ZnO}$ ،  $2\text{ZnO}$  و  $3\text{ZnO}$  مربوط به نمونه‌های حاوی ۱، ۲ و ۳ گرم اکسید روی هستند.

جدول ۱ مقادیر مواد اولیه اکسیدی استفاده شده برای تهیه شیشه

نام ترکیب	مقدار (gr)	مقدار (mol)
Al <sub>2</sub> O <sub>3</sub>	۳۳	۰/۳۲
SiO <sub>2</sub>	۲۴	۰/۴۰
CaF <sub>2</sub>	۲۱/۶	۰/۲۸
P <sub>2</sub> O <sub>5</sub>	۱۸/۷	۰/۱۳
CaO	۹/۸	۰/۱۷
ZnO	۰-۱-۲-۳	۰-۰/۰۱۲-۰/۰۲۵-۰/۰۴۰
K <sub>2</sub> O	۳	۰/۰۳۲
Na <sub>2</sub> O	۱/۹۸	۰/۰۳۲

IR انجام شد. بررسی‌های رامان با استفاده از دستگاه طیف‌سنجی Almega Thermo Nicolet Dispersive Spectrometer Raman انجام شد. طیف‌سنجی در محدوده  $4000-100 \text{ cm}^{-1}$  بود. لیزر استفاده شده تکفام، و با طول موج  $532 \text{ nm}$  است. وضوح خروجی دستگاه  $4 \text{ cm}^{-1}$  است. میکروسختی با استفاده از دستگاه میکروسختی ویکرز MITECH HV-1000 Micro Vickers Hardness Tester انجام شد. برای دستیابی به نتایج قابل مقایسه، نمونه‌های شیشه‌ای در قالب ۴ گروه دوازده‌تایی آزموده شدند.

### آزمون نرمال بودن توزیع متغیرها

در ابتدا لازم است داده‌های جمع‌آوری شده تحت آزمون مناسب، جهت سنجش نرمال بودن توزیع قرار گیرد. آزمون نرمال بودن توزیع داده‌ها از شایع‌ترین آزمون‌ها برای تعداد نمونه‌های کم و محدود است که محقق به نرمال بودن آن مشکوک است. آزمون‌های معمول تعیین نرمال بودن متغیرها شامل آزمون Shapiro-Wilk, Anderson-Darlin, Jorqur-Bera, Lilliefors و Kolmogorov-Smirnov است. آزمون استفاده شده در تحقیق حاضر در بیشتر موارد آزمون کولموگوروف اسمیرونوف (Kolmogorov-Smirnov) است. اساس این روش بر اختلاف بین فراوانی تجمعی نسبی مشاهدات با مقدار مورد انتظار تحت فرض صفر است. در فرض صفر گفته می‌شود که نمونه انتخاب شده دارای توزیع نرمال (پواسن، نمایی یا یکنواخت) است. آزمون کلموگوروف اسمیرونوف یا K-S برای تطابق توزیع، احتمال‌های تجمعی مقادیر در مجموعه داده‌ها را با احتمال‌های تجمعی همان مقادیر در یک توزیع نظری خاص مقایسه می‌کند. اگر اختلاف آن به قدر کافی بزرگ باشد، این آزمون نشان خواهد داد که داده‌ها با هیچ‌کدام از توزیع‌های نظری تطابق ندارد. در این آزمون اگر معیار تصمیم (P-value) کمتر از ۵ درصد (۰/۰۵) باشد، فرض صفر رد می‌شود؛ یعنی داده‌ها نمی‌توانند از یک توزیع خاص مانند نرمال، پواسن، نمایی یا یکنواخت برخوردار باشند. فرضیه‌های آزمون در تحقیق حاضر بدین شرح است:

H0: توزیع متغیرها نرمال است.

اکسید آلومینا، سیلیس، کربنات کلسیم، کربنات پتاسیم و اکسید روی با خلوص ۹۹/۹۰ درصد تهیه شده از شرکت لعاب مشهد با اندازه مش ۴۰۰ به عنوان مواد اولیه استفاده شده است. همه مواد بعد از توزین، با دقت هزارم گرم، مخلوط شدند. برای انجام عملیات ذوب، از بوتله‌های ۱۵۰ سی‌سی آلومینایی استفاده شد. گرمایش با نرخ  $10 \text{ }^\circ\text{C}/\text{min}$  تا دمای  $1450 \text{ }^\circ\text{C}$  انجام شد، سپس نمونه‌ها به مدت ۲ ساعت در دمای  $1450 \text{ }^\circ\text{C}$  نگهداری شدند. بعد آن مذاب حاصله در حوضچه‌های آب با دمای  $25 \text{ }^\circ\text{C}$  کوئچ شد و فریت نمونه‌ها تولید شد. برای شناسایی تأثیر مقادیر متفاوت اکسید روی بر ساختار ذرات شیشه، پودرهای تولید شده در قالب ۴ کد، بعد از آسیاب تحت آزمون حرارتی DTA قرار گرفتند. این آزمون با استفاده از دستگاه NETZSCH Geratebau با سرعت  $10 \text{ }^\circ\text{C}/\text{min}$  انجام شد. برای مطالعه تأثیر افزودن اکسید روی بر رفتار تبلور نمونه‌های شیشه حاوی این اکسید، همه نمونه‌ها به صورت جداگانه در دمای  $750 \text{ }^\circ\text{C}$  و  $1100 \text{ }^\circ\text{C}$  عملیات حرارتی شدند. عملیات حرارتی به صورت دومرحله‌ای انجام شد و نمونه‌ها با سرعت  $5 \text{ }^\circ\text{C}/\text{min}$  تا دمای  $600 \text{ }^\circ\text{C}$  حرارت داده شدند و پس از ۳ ساعت نگهداری در این دما با سرعت  $5 \text{ }^\circ\text{C}/\text{min}$  تا دمای نهایی گرم و ۳ ساعت نیز در آن دما نگه داشته شدند. نمونه‌های به دست آمده با دستگاه پراش پرتو ایکس (PHILIPS PW1730) Tube:Cu LFF  $(\lambda=1.540598 \text{ \AA})$  بررسی‌های FTIR با استفاده از دستگاه طیف‌سنجی FT- (Avatar 370)

جدایش فازی تمایل بیشتری به بلورینگی دارد [13]. رفتار تبلور و استحکام ساختار شیشه رفتار عکس نشان می‌دهند [14]. بنابراین می‌توان نتیجه گرفت در شیشه با رفتار تبلور ضعیف‌تر یا دمای بلورینگی بالاتر می‌توان خواص مکانیکی بالاتری را انتظار داشت [14].

لازمه تشریح رفتار حرارتی در شیشه‌ها، دستیابی به درک درست از ریزساختار و شناخت نقش هر یون در این مواد است. یون‌هایی که با قرارگیری در ساختار تتراهدرال نقش یون شبکه‌ساز را ایفا می‌کنند، به دلیل برقراری پیوند با اکسیژن‌های پل‌زن، ساختار شیشه را مستحکم‌تر و پایداری شیمیایی را افزایش می‌دهند. برعکس یون‌هایی که به‌عنوان جبران‌کننده بار بین مکان‌های تتراهدرال قرار می‌گیرند، کامل با اکسیژن‌ها تبادل الکترون نمی‌کنند و فقط با جبران بار ساختار را پایدار می‌کنند و باعث بازشدن ساختار، کاهش پایداری شیمیایی و افت خواص مکانیکی شیشه می‌شوند. با کاهش پایداری شیمیایی، تمایل به تبلور نیز افزایش می‌یابد. یون‌های اصلاح‌کننده با بازکردن ساختار، شرایط نفوذ و جدایش فازی را ایجاد می‌کنند و در نتیجه تمایل برای جوانه‌زایی و تبلور فاز جدید حاصل می‌شود [2]. کاتیون روی نیز مانند آلومینیم در ساختار شیشه آلومینوسیلیکاتی می‌تواند به‌عنوان یون واسطه ایفای نقش کند. ادعا می‌شود یون روی در مقادیر کم وارد مکان‌های تتراهدرال می‌شود و مانند یک یون شیشه‌ساز عمل می‌کند؛ درحالی‌که در مقادیر بالاتر، این یون نقش اصلاح‌کننده ساختار را خواهد داشت و بار اضافی منفی در ساختار را جبران می‌کند [2]. برای مطالعه تأثیر افزودن اکسید روی، بر رفتار تبلور نمونه‌های شیشه حاوی این اکسید، همه نمونه‌ها به‌صورت جداگانه در ۲ دمای ۷۵۰ و ۱۱۰۰ درجه سانتی‌گراد عملیات حرارتی شدند. نتایج XRD در قسمت‌های الف و ب در شکل ۲ ارائه شده است. نتایج این آنالیز نشان می‌دهد که فازهای آنورتیت و آپاتیت مهم‌ترین فازهای متبلور شده در همه نمونه‌ها هستند. عملیات حرارتی در دمای ۷۵۰°C منجر به تبلور آپاتیت می‌شود، درحالی‌که افزایش دما تا ۱۱۰۰°C منجر به تبلور فاز آنورتیت

H1: توزیع متغیرها نرمال نیست. بعد از اطمینان از نرمال بودن توزیع داده‌ها، می‌توان از ابزارهای دیگر آماری برای بررسی داده‌ها استفاده کرد.

### آزمون آنالیز واریانس یک‌جهته ANOVA (Analysis of variances)

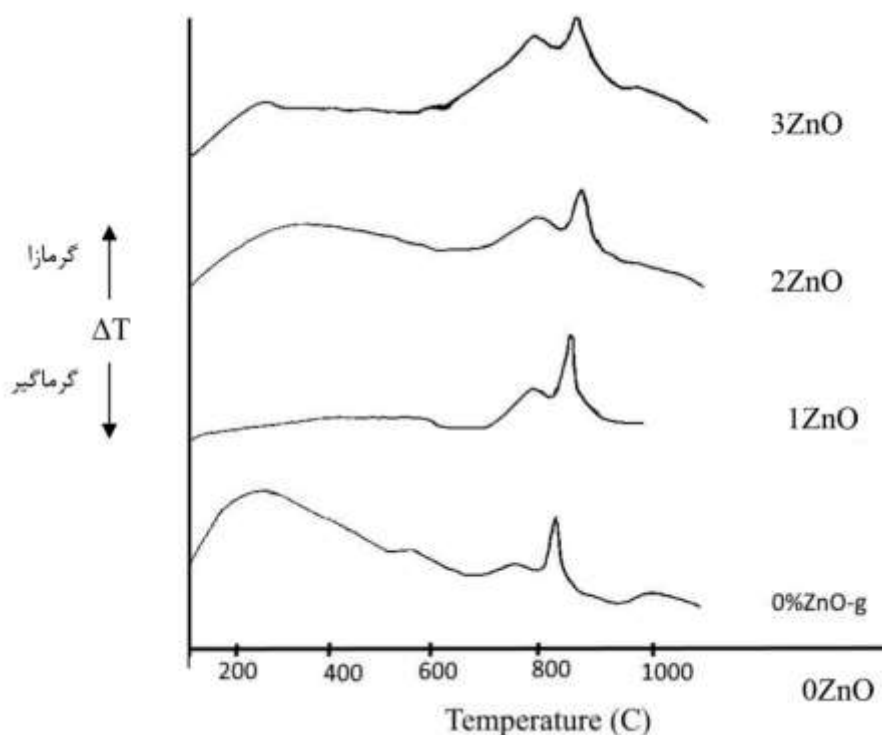
بعد از اطمینان از نرمال بودن داده‌های استخراج شده از آزمون میکروسختی، برای مقایسه میانگین بیش از ۲ جامعه از روش آنالیز واریانس استفاده شد که در آن تأثیر یک متغیر مستقل بر متغیر وابسته (در این تحقیق اکسید روی) بررسی می‌شود. فرض‌های استفاده شده در این آزمون: H0: تفاوت معناداری بین نمونه‌ها وجود ندارد. H1: تفاوت معناداری بین نمونه‌ها وجود دارد. چنانچه مقدار محاسبه شده در این آزمون  $F_{critic}$  از مقدار تعیین شده  $F$  بیشتر باشد، تفاوت معناداری دست‌کم بین میانگین ۲ گروه از نمونه‌ها وجود دارد.

### نتایج و بحث

شکل ۱ نتایج آنالیز DTA را نشان می‌دهد. آنالیز حرارتی افتراقی تا دمای ۱۱۰۰ درجه سانتی‌گراد با سرعت ۱۰ درجه در دقیقه انجام شد. این آزمون برای مطالعه دمای تبلور شیشه‌ها استفاده می‌شود. پیک‌های گرماده در این آزمون نشان‌دهنده استحاله تبلور شیشه‌اند [13]. دماهای شیشه‌ای شدن و تبلور همه نمونه‌ها در جدول ۲ ارائه شده است. براساس نتایج DTA، می‌توان دریافت که با افزایش مقدار اکسید روی از مقدار صفر گرم در نمونه ZnO تا مقدار ۲ گرم در نمونه ۲ZnO، دمای تبلور افزایش می‌یابد. این افزایش می‌تواند ناشی از افزایش در ویسکوزیته شیشه یا ساختار منسجم‌تر این نمونه‌ها در نتیجه تغییر در ترکیب باشد [13]. با افزایش بیشتر مقدار اکسید روی، در نمونه ۳ZnO دمای تبلور تا حدودی کاهش یافته است. باید در نظر داشت همواره تیزترین و کمترین دمای پیک تبلور معیاری برای انتخاب بهترین رفتار بلورینگی است، به این معنا که شیشه با دمای کمتر در پیک تبلور، به دلایلی هم‌چون بازبودن ساختار و

کاسته می‌شود. همان‌گونه که نتایج DTA نیز نشان داد، افزایش مقدار اکسید روی، شدت تبلور فازهای بلورین را تحت تأثیر قرار می‌دهد و این استحاله را به دماهای بالاتر منتقل می‌کند.

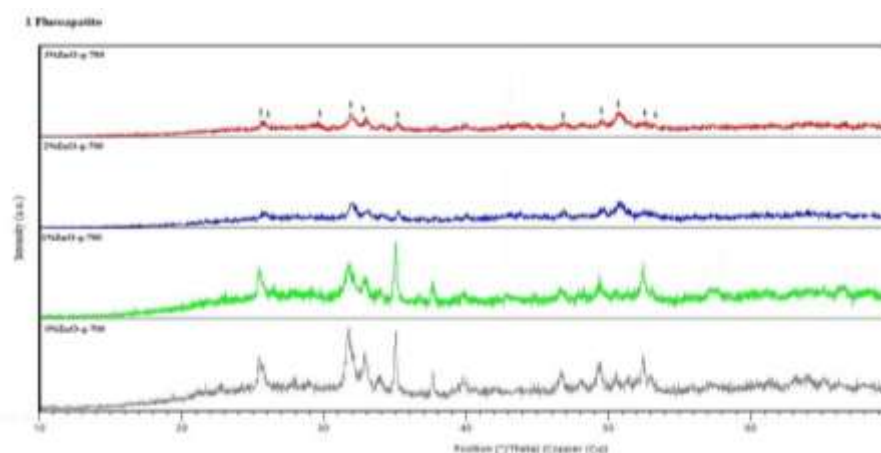
می‌شود. مقایسه نتایج XRD نمونه  $\text{ZnO}$  با دیگر نمونه‌ها نشان می‌دهد که اکسید روی نقشی در تغییر نوع فازهای متبلور شده نداشته است. همان‌گونه که شکل ۲ نشان می‌دهد، پس از عملیات حرارتی به مدت ۳ ساعت در دمای  $750^\circ\text{C}$  و  $1100^\circ\text{C}$  با افزایش مقدار  $\text{ZnO}$  از شدت پیک‌های XRD



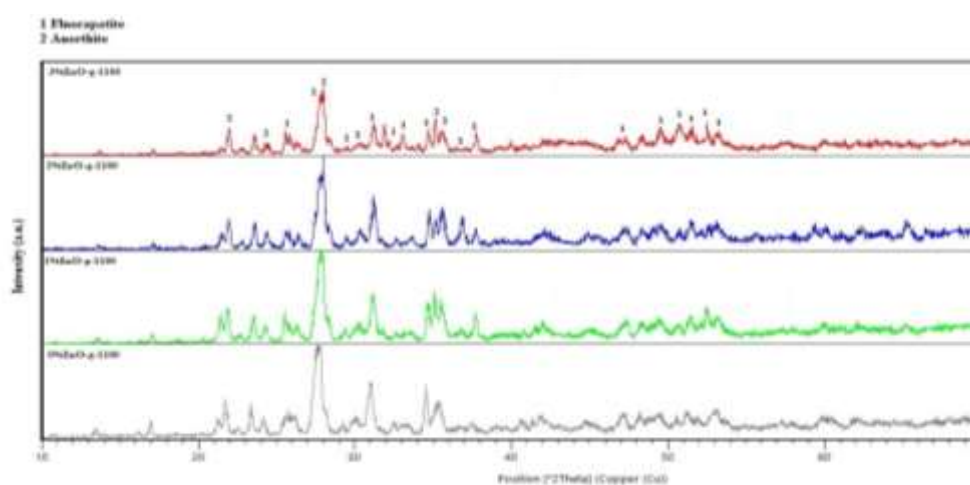
شکل ۱ آنالیز حرارتی افتراقی برای ۴ کد نمونه شیشه‌ای

جدول ۲ دماهای مربوط به پیک تبلور ۲ فاز و دمای شیشه‌ای شدن در شیشه‌های تحت آزمون

کد نمونه	$T_g$ ( $^\circ\text{C}$ )	$T_{C1}$ ( $^\circ\text{C}$ )	$T_{C2}$ ( $^\circ\text{C}$ )
0ZnO	۵۲۵	۷۵۰	۸۲۵
1ZnO	۵۷۵	۷۷۵	۸۴۰
2ZnO	۵۷۵	۷۸۵	۸۷۰
3ZnO	۵۵۰	۷۷۵	۸۵۰



(الف)



(ب)

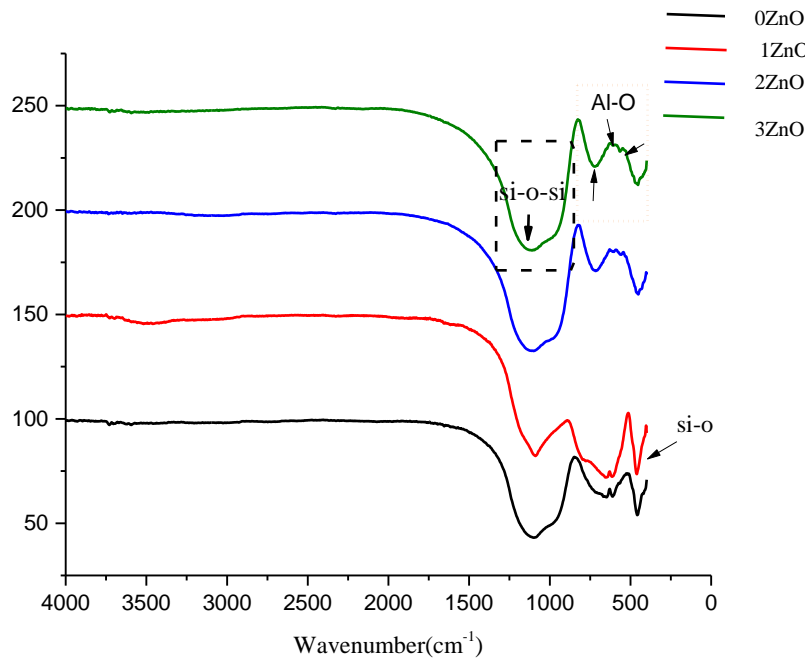
شکل ۲ نتایج XRD نمونه‌های عملیات حرارتی شده در: (الف) 750°C و (ب) 1100°C به مدت ۳ ساعت

است [15-17]. پیک‌های جذبی Al-O که در ۲ محدوده  $\text{cm}^{-1}$   $650-500$  و  $900-650$  دیده می‌شوند، به ترتیب مربوط به ارتعاشات کششی  $\text{AlO}_4$  و  $\text{AlO}_6$  هستند [17]. همان‌گونه که شکل ۴ نشان می‌دهد، در محدوده عدد موج  $700 \text{ cm}^{-1}$  در نمونه  $\text{ZnO}$  پیکی مشاهده نمی‌شود، اما با افزایش مقدار اکسید روی، در ابتدا در نمونه  $\text{ZnO}_1$  شانه‌ای در عدد موج  $775/18 \text{ cm}^{-1}$  مشاهده می‌شود. این شانه در نمونه‌های  $\text{ZnO}_2$  و  $\text{ZnO}_3$  به یک پیک شارپ به ترتیب در محدوده  $715/78 \text{ cm}^{-1}$  و  $718/31 \text{ cm}^{-1}$  تبدیل می‌شود. براساس آنچه پیش از این بیان شد، این پیک مربوط به ارتعاشات کششی  $\text{AlO}_4$  است. پیک‌های مشاهده شده در

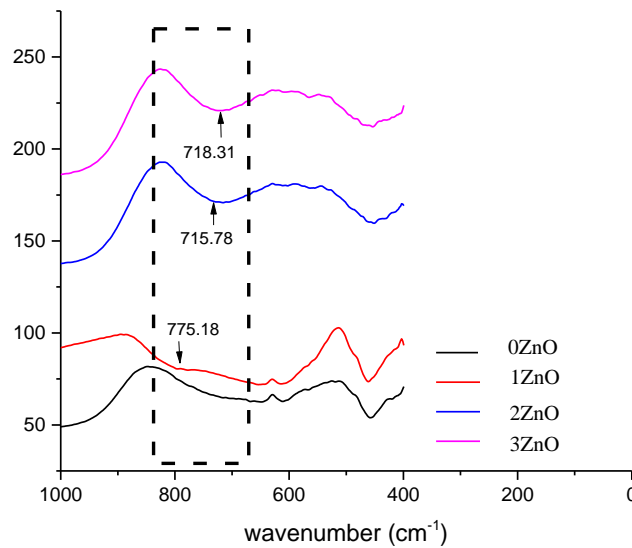
شکل ۳ نتایج آنالیز FTIR نمونه‌های شیشه‌های حاوی مقادیر متفاوت اکسید روی را نشان می‌دهد. در همه ۴ نمونه پیک‌های جذبی قوی در محدوده  $1350-1000 \text{ cm}^{-1}$  دیده می‌شود. این طول موج همراه با پیک موجود در  $450 \text{ cm}^{-1}$  پیک‌های مشخصه مربوط به ارتعاشات پیوندی سیلیسیم هستند. پیک جذبی وسیع در محدوده  $800-1300 \text{ cm}^{-1}$  شامل ۳ پیک مشخصه Si-O-Si است که این ۳ باند مربوط به ارتعاشات متقارن کششی و خمشی اند. پیک موجود در عدد موج  $450 \text{ cm}^{-1}$  نیز مربوط به ارتعاشات خمشی Si-O است [15-17]. عدد همسایگی اکسیژن‌های غیر پل‌زن در تراهدرال‌های  $\text{SiO}_4$  در این ۲ پیک جذبی باهم متفاوت بوده

۱ ZnO) پیک وسیع موجود در محدوده  $1000-1350\text{ cm}^{-1}$  که به ارتعاشات کششی Si-O-Si مربوط است، به پیک شارپ تبدیل شده است که این امر می‌تواند مرتبط با تغییرات ساختاری در نمونه باشد.

محدوده  $500-650\text{ cm}^{-1}$  نیز همان‌طور که گفته شد، مربوط به ارتعاشات کششی آلومینیم در عدد کوردیناسیون ۶ است. در نمونه‌های ۱ ZnO و ۰ ZnO در محدوده  $1630\text{ cm}^{-1}$  پیک مربوط به جذب آب دیده می‌شود که این پیک جذبی کوچک در نمودارهای دیگر قابل شناسایی نیست. در نمونه



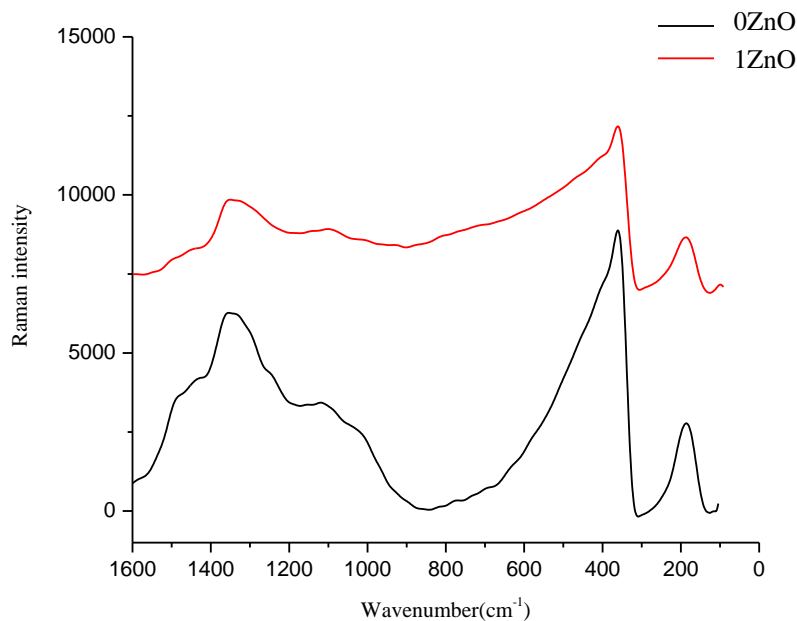
شکل ۳ نتایج FTIR نمونه‌های شیشه



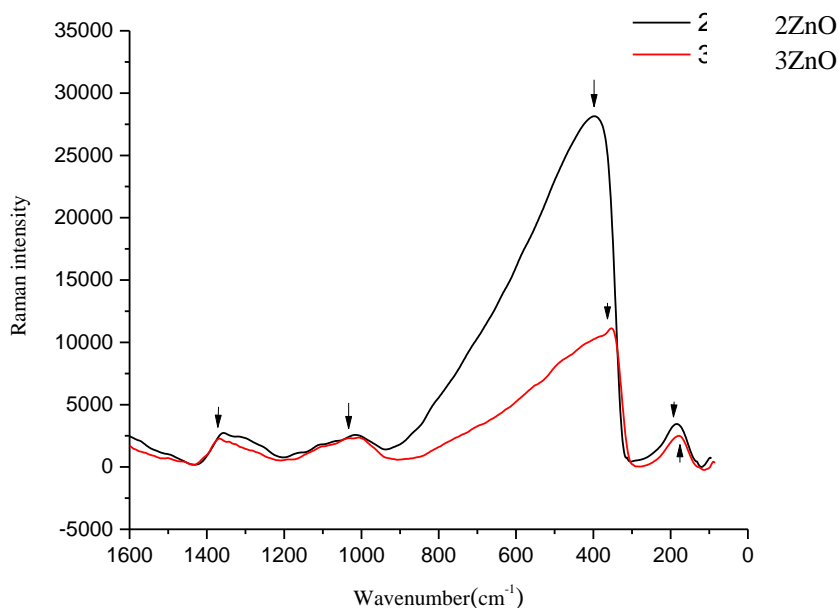
شکل ۴ محدوده طول موج مربوط به پیک‌های مربوط به Al-O در ساختار شیشه

داد. نتایج رامان نیز مؤید همین موضوع است. برای سهولت در تشخیص، نمودار و اطلاعات مربوط به ۲ نمونه ZnO و ۱ ZnO و همچنین ۲ ZnO و ۳ ZnO در ادامه به ترتیب و به صورت جداگانه در شکل‌های ۵ و ۶ جدول ۳ ارائه شده است.

طیف‌سنجی رامان برای کامل کردن اطلاعات در حوزه پیوندها، به عنوان مکمل در کنار آزمون FTIR انجام می‌شود. شکل‌های ۵ و ۶ نتایج طیف‌سنجی رامان شیشه‌های تهیه شده را نشان می‌دهد. تحلیل FTIR مربوط به نمونه ۲ ZnO و ۳ ZnO مشابهت در پیوندهای موجود در این ۲ نمونه را نشان



شکل ۵ نمودار طیف‌سنجی رامان نمونه‌های 0ZnO و 1ZnO



شکل ۶ نمودار طیف‌سنجی رامان نمونه‌های ۲ZnO و ۳ZnO



اضافه شدن آلومینا به ساختار، به محدوده‌های فرکانس بالاتر منتقل شده‌اند. باندهای موجود در محدوده فرکانس‌های پایین  $200-400\text{ cm}^{-1}$  مرتبط با حضور کاتیون‌های اصلاح‌کننده در ساختارند و فرکانس شناسایی شده در محدوده  $353\text{ cm}^{-1}$  و  $397\text{ cm}^{-1}$  می‌تواند مربوط به مجموع فرکانس ارتعاشی شبکه  $\text{SiO}_4$  و  $\text{Ca-O}$  باشد. گزارش شده‌است که [18] اضافه شدن  $\text{ZnO}$  به ساختار سبب انتقال این پیک به سمت اعداد کمتر می‌شود. همان‌طور که مشاهده می‌شود، با اضافه شدن اکسید روی، باند مشخص شده از  $\text{cm}^{-1} 397$  به  $\text{cm}^{-1} 353$  انتقال یافته و شدت آن به‌طور واضحی کاهش یافته است. پیوندهای اکسیژن با کاتیون در این فرکانس ظهور می‌کند که به دلیل اضافه شدن یون روی در ساختار این انتقال اتفاق می‌افتد [18]. فرکانس  $\text{cm}^{-1} 1357$  و  $\text{cm}^{-1} 1367$  مربوط به ارتعاشات متقارن P-O است [19,20]. مشاهده می‌شود با اضافه شدن یون روی، طول موج به سمت اعداد کمتر می‌رود. نتایج میکروسختی برای نمونه‌های شیشه در جدول ۴ ارائه شده است. نیرو و زمان اعمالی به ترتیب  $50\text{ گرم}$  و  $20\text{ ثانیه}$  بوده است. نرمال بودن نمونه‌ها با استفاده از آزمون K-S مطالعه شد. نتایج این آزمون در جدول ۵ آورده شده است. همان‌طور که نتایج جدول‌های ۴ و ۵ نشان می‌دهد، آزمون K-S برای همه متغیرهای تحقیق در ناحیه پذیرش فرض صفر آماری قرار گرفت. بنابراین، داده‌ها در هر گروه با احتمال  $95\%$  در صد نرمال هستند. پس درباره این متغیرها می‌توان از روش‌های آماری پارامتریک مانند آنالیز واریانس یک‌جهته استفاده کرد.

برای مقایسه معنادار بودن تفاوت سختی در گروه‌ها، از تحلیل واریانس یک‌راهه ANOVA استفاده شده است. نتایج این آزمون در جدول ۶ ارائه شده است. در این آزمون ۲ فرض اولیه عبارت‌اند از:

H0: تفاوت معناداری بین نمونه‌ها وجود ندارد.

H1: تفاوت معناداری بین نمونه‌ها وجود دارد.

جدول ۳ پیک‌های تشخیص داده‌شده در طیف رامان نمونه‌های  $\text{ZnO}$ .

$\text{ZnO}$ ،  $2\text{ZnO}$  و  $3\text{ZnO}$

$0\text{ZnO}$	$1\text{ZnO}$	$2\text{ZnO}$	$3\text{ZnO}$
$186\text{ cm}^{-1}$	$179\text{ cm}^{-1}$	$184\text{ cm}^{-1}$	$178\text{ cm}^{-1}$
$361\text{ cm}^{-1}$	$358\text{ cm}^{-1}$	$397\text{ cm}^{-1}$	$358\text{ cm}^{-1}$
$1119\text{ cm}^{-1}$	--	$1016\text{ cm}^{-1}$	$1008\text{ cm}^{-1}$
$1354\text{ cm}^{-1}$	$1360\text{ cm}^{-1}$	$1357\text{ cm}^{-1}$	$1367\text{ cm}^{-1}$

در مطالعات رامان، ارتعاشات سیلیسیم در ساختار تتراهدرال را به  $\text{SiQ}$  گروه تقسیم شده است و به صورت  $\text{SinQ}$  بیان می‌شود که  $n$  تعداد اکسیژن‌های پل‌زده‌نشده در یک ساختار تتراهدرال را نشان می‌دهد. در ساختار تتراهدرال سیلیسیم عدد  $n$  می‌تواند از ۰ تا ۴ تغییر کند [17].

باند مشاهده‌شده در محدوده  $\text{cm}^{-1} 1000$  مربوط به ارتعاش گروه‌های ساختاری  $\text{SiQ}_4$  است. حضور کاتیون‌های دوظرفیتی ممکن است به ایجاد چنین پیوندی منجر شده باشد. تحقیقات نشان می‌دهد حضور یون کلسیم و منیزیم منجر به جابه‌جایی طول موج به سمت اعداد کوچک‌تر می‌شود. همچنین یون کلسیم به دلیل شعاع بالاتر نسبت به منیزیم در تغییر طول موج پیوند بیشتر اثرگذار بوده است [17]. یون روی به دلیل مشابهت اندازه شعاع با یون منیزیم و مشابهت بار احتمالاً رفتار مشابه از خود نشان می‌دهد، بنابراین با اضافه شدن یون روی در نمونه  $3\text{ZnO}$  نسبت به نمونه  $2\text{ZnO}$  شاهد کاهش فرکانس هستیم. هرچند اضافه شدن مقدار کمی از این یون تأثیر کمی در جابه‌جایی فرکانس پیوند داشته است. فرکانس موجود در محدوده‌های  $\text{cm}^{-1} 178$  و  $\text{cm}^{-1} 184$  مرتبط با ارتعاشات مشخصه  $\text{Si-O-Si}$  است. همچنین در شیشه‌های آلومینو سیلیکات می‌توان این فرکانس‌های پایین (محدوده  $100$ ) را مرتبط با پیوند‌های ناشی از حضور کاتیون سدیم در ساختار دانست که به دلیل

جدول ۴ عدد سختی نمونه‌های شیشه‌ای بر مبنای سختی سنجی ویکرز

نمونه	$0\text{ZnO}$	$1\text{ZnO}$	$2\text{ZnO}$	$3\text{ZnO}$
متوسط	$677 \pm 100$	$770 \pm 120$	$816 \pm 50$	$793 \pm 90$

جدول ۵ تعیین نرمال بودن داده‌های سختی سنجی نمونه‌های شیشه

متغیر	تعداد	آماره Z	نتیجه
ZnO <sup>۰</sup>	۸	۰/۰۶۸	نرمال است
ZnO <sup>۱</sup>	۸	۰/۱۲۲	نرمال است
ZnO <sup>۲</sup>	۸	۰/۰۴۶	نرمال است
ZnO <sup>۳</sup>	۸	۰/۲۹۹	نرمال است

جدول ۶ نتایج تحلیل واریانس یک‌راهه ANOVA برای مقایسه درصد‌های مختلف اکسید روی

ANOVA	مجموع مربعات	درجه آزادی	F	F critic	نتیجه
بین گروه‌ها	۸۹۰۳۱/۵۱	۳	۷/۴۳	۲/۹۴	رد فرض صفر
داخل گروه‌ها	۱۱۱۸۸۹/۴	۲۸			
کل	۲۰۰۹۲۰/۹	۳۱			

### نتیجه‌گیری

افزودن اکسید روی تا ۲ گرم به ترکیب شیشه پایه آلومینوسیلیکاتی منجر به افزایش دمای تبلور فازهای بلورین در شیشه حاوی این اکسید شد. افزایش دمای تبلور نشان‌دهنده بهبود انسجام ساختار شیشه و خواص مکانیکی آن است. در صورتی که از این شیشه در ساخت سیمان‌های دندان‌ی استفاده شود، در ترکیب سیمانی نهایی، خواص مکانیکی و ریزسختی بهبود خواهد یافت. آپاتیت و آنورتیت به ترتیب مهم‌ترین فازهای متبلور شده در شیشه پس از عملیات حرارتی در دماهای ۷۰۰ °C و ۱۱۰۰ °C بودند. با وجود تغییر یافتن نوع و شدت باندهای موجود در ترکیبات شیشه، قدرت پیوند بالاتر این اکسید با آنیون اکسیژن بهبود چشمگیری در نتایج ریزسختی نمونه‌های حاوی ۲ گرم اکسید روی را به همراه داشت. مقدار ریزسختی و یکرز شیشه‌های بدون افزودنی در حدود  $100 \pm 677$  بود که با افزودن اکسید روی و افزایش مقدار آن تا ۲ گرم، مقدار ریزسختی تا  $50 \pm 815$  افزایش یافت. افزایش ریزسختی شیشه، ریزسختی سیمان حاوی آن را بهبود خواهد داد و در نتیجه خواص سطحی ترمیم مانند مقاومت سایشی می‌تواند افزایش یابد. مطالعات آماری نشان داد که بهبود صورت گرفته با  $p < 0.05$  معنادار است.

باتوجه به جدول ۶ با احتمال ۹۵ درصد، فرضیه صفر آماری رد می‌شود. به عبارت دیگر، دست‌کم بین ۲ گروه از نمونه‌ها تفاوت معناداری وجود دارد. از نظر رتبه‌بندی در میان نمونه‌های تحت آزمون، نمونه ZnO<sup>۲</sup> و نمونه ZnO<sup>۰</sup> به ترتیب دارای بیشترین و کمترین مقادیر سختی‌اند. این نتایج با نتایج آنالیزهای DTA و FTIR هم‌راستا است. سختی و پیوند شیمیایی در ساختار شیشه رابطه مستقیمی با یکدیگر نشان می‌دهند، به گونه‌ای که با مستحکم‌تر شدن پیوندهای شیشه‌ای، ساختار مستحکم‌تری را شاهد خواهیم بود. همان‌طور که پیش‌تر بیان شد، با افزایش مقدار ZnO در ساختار تا میزان ۰/۲۵ مول، تمایل به تبلور و جوانه‌زنی کاهش و پیوندهای شیشه‌ساز افزایش می‌یابد و در نتیجه ساختار شیشه مستحکم‌تر می‌شود. بنابراین، انتظار می‌رود مقادیر سختی در شیشه با مقادیر بالاتر ZnO مقدار بالاتری را نشان دهد. در نمونه‌های مطالعه‌شده در پژوهش اخیر، نمونه‌های حاوی ۱ و ۲ گرم اکسید روی، مقادیر ریزسختی بالاتری در مقایسه با نمونه بدون افزودنی داشتند. این افزایش تا زمانی ادامه می‌یابد که نقش اصلاح‌کنندگی ساختار توسط یون روی بر افزایش پیوندهای شیشه‌سازی آلومینیم غلبه کند. بنابراین، با افزایش بیشتر مقدار اکسید روی تا مقدار ۳ گرم، ساختار کلی شیشه بازتر می‌شود و مقادیر سختی کاهش می‌یابد.

### مراجع

1. S. Shorvazi, F. Kermani, S. Mollazadeh, A. Kiani-Rashid, S. Kargozar, and A. Youssefi, "Coating Ti6Al4V substrate with the triple-layer glass-ceramic compositions using sol-gel method; the critical effect of the composition of the layers on the mechanical and in vitro biological performance," *J. Sol-Gel Sci. Technol.*, Vol. 94, pp. 743–753, (2020).
2. F. Darvishian, S. Mollazadeh, and Z. Tayarani, "Highly improved biological and mechanical features of bioglass-ceramic / gelatin composite scaffolds using a novel silica coverage," *Ceram. Int.*, Vol. 47, pp. 14048–14061, (2021).
3. Smedskjaer, Morten M., Randall E. Youngman, and John C. Mauro., "Impact of ZnO on the structure and properties of sodium aluminosilicate glasses: Comparison with alkaline earth oxides." *Journal of Non-Crystalline Solids*, Vol. 381, pp. 58-64, (2013).
4. S. Mollazadeh, B. Eftekhari Yekta, J. Javadpour, A. Yusefi, and T. S. Jafarzadeh, "The role of TiO<sub>2</sub>, ZrO<sub>2</sub>, BaO and SiO<sub>2</sub> on the mechanical properties and crystallization behavior of fluorapatite-mullite glass-ceramics," *J. Non. Cryst. Solids*, Vol. 361, pp. 70–77, (2013).
5. S. Mollazadeh, J. Javadpour, B. E. Yekta, T. S. Jafarzadeh, and A. Youssefi, "Synthesis and characterisation of dental composite materials reinforced with fluoroapatite-mullite glass-ceramic particles," *Adv. Appl. Ceram.*, Vol. 112, pp. 294–300, (2013).
6. Armstrong, S., et al., "Adhesion to tooth structure: a critical review of "micro" bond strength test methods". *Dental Materials*, Vol. 26(2), pp. 50-62, (2010).
7. Bayne, S. C., et al., "Sturdevant's art and science of operative dentistry". *Chaper*, Vol. 7, pp. 307-44, (2006).
8. Wood, D., and Hill, R., "Glass ceramic approach to controlling the properties of a glass-ionomer bone cement". *Biomaterials*, Vol. 12.2, pp. 164-170, (1991).
9. Davis, H. B., et al., "Ion release from, and fluoride recharge of a composite with a fluoride-containing bioactive glass". *Dental Materials*, Vol. 30(10), pp. 1187-1194, (2014).
10. Khoroushi, M., and Keshani, F., "A review of glass-ionomers: From conventional glass-ionomer to bioactive glass-ionomer", *Dental research journal*, Vol. 10.4, pp. 411, (2013).
11. Xie, D., Zhao, J., Weng, Y., Park, J.G., Jiang, H., Platt, J.A., "Bioactive glass-ionomer cement with potential therapeutic function to dentin capping mineralization", *Eur J Oral Sci.* Vol. 116, pp. 479–87, (2008).
12. Yli-Urpo, H., Lassila, L.V., Närhi, T., Vallittu, P.K., "Compressive strength and surface characterization of glass ionomer cements modified by particles of bioactive glass", *Dent Mater.* Vol. 21, pp. 201–9, (2005).
13. F. Kermani, S. M. Beidokhti, F. Baino, Z. Gholamzadeh-Virany, M. Mozafari, and S. Kargozar, "Strontium- and cobalt-doped multicomponent mesoporous bioactive glasses (MBGS) for potential use in bone tissue engineering applications," *Materials (Basel)*, Vol. 13, pp. 1348-1368, (2020).
14. A. Fathi et al., "Three-dimensionally printed polycaprolactone/multicomponent bioactive glass scaffolds for potential application in bone tissue engineering," *Biomed. Glas.*, Vol. 6, pp. 57–69, (2021).

15. F. Kermani, A. Gharavian, S. Mollazadeh, S. Kargozar, A. Youssefi, and J. Vahdati Khaki, "Silicon-doped calcium phosphates; the critical effect of synthesis routes on the biological performance," *Mater. Sci. Eng. C*, Vol. 111, pp. 110828, (2020).
16. F. Kermani, S. Kargozar, Z. Tayarani-Najaran, A. Yousefi, S. M. Beidokhti, and M. H. Moayed, "Synthesis of nano HA/ $\beta$ TCP mesoporous particles using a simple modification in granulation method," *Mater. Sci. Eng. C*, Vol. 96, pp. 859-871, (2019).
17. Aronne, A., S. Esposito, and P. Pernice. "FTIR and DTA study of lanthanum aluminosilicate glasses." *Materials chemistry and physics*, Vol. 51, pp. 163-168, (1997).
18. Anand, Vikas, K. J. Singh, and Kulwinder Kaur. "Evaluation of zinc and magnesium doped 45S5 mesoporous bioactive glass system for the growth of hydroxyl apatite layer." *Journal of non-crystalline solids*, Vol. 406, pp. 88-94, (2014).
19. F. Kermani, S. Mollazadeh, S. Kargozar, and J. V. Khakhi, "Solution combustion synthesis (SCS) of theranostic ions doped biphasic calcium phosphates; kinetic of ions release in simulated body fluid (SBF) and reactive oxygen species (ROS) generation," *Mater. Sci. Eng. C*, Vol. 118, pp. 111533, (2021).
20. F. Kermani, S. Mollazadeh, S. Kargozar, and J. V. Khakhi, "Improved Osteogenesis and angiogenesis of Theranostic ions doped calcium phosphates (CaPs) by a simple surface treatment process: A state-of-the-art study," *Mater. Sci. Eng. C*, Vol. 124, pp. 112082, (2021).